

# بهبود کارائی سطحی فولاد ساده کربنی با استفاده از روکش جوشی غنی از Al

مسعود مصلایی پور<sup>۱</sup> و فاطمه بداغنی<sup>۲\*</sup>

۱- استادیار، دانشکده مهندسی مواد و معدن، دانشگاه یزد، یزد، ایران

۲- دانشجوی کارشناسی، دانشکده مهندسی مواد و معدن، دانشگاه یزد، یزد، ایران

<sup>\*</sup>fatemeh.bodaghi85@yahoo.com

(تاریخ دریافت: ۱۳۹۰/۰۴/۱۵، تاریخ پذیرش: ۱۳۹۰/۰۸/۲۶)

## چکیده

عمده‌ترین مشکل مربوط به استفاده از فولادهای ساده کربنی در دماهای نسبتاً بالا مربوط به پدیده اکسیداسیون و خوردگی این گروه از مواد است. از سویی آلومینیم و آلیاژهای آن بدلیل دارا بودن مقاومت به اکسیداسیون مطلوب، قابلیت افزایش کارائی فولادهای ساده کربنی در دماهای بالا را دارا می‌باشد. بنابراین در این پژوهش، ایجاد روکش غنی از آلومینیم بر سطح فولاد ساده کربنی AISI-1006 توسط فرآیند جوشکاری قوس تنگستن (GTAW) به منظور غلبه بر مشکل مذکور مورد بررسی قرار گرفت. مطالعات ریزساختاری انجام شده توسط میکروسکوپ‌های نوری و الکترونی روبشی (SEM) حاکی از تشکیل یک روکش یکدست حاوی توزیع نسبتاً یکنواختی از رسوبات سوزنی شبکه بر سطح زیرلایه بود. مطالعات فازی انجام شده توسط آزمون XRD همراه با مطالعه ترکیب شیمیایی با استفاده از آنالیز EDS نشان داد، لایه روکش ایجاد شده مشکل از زمینه بین فلزی FeAl به همراه رسوبات بین فلزی سوزنی شبکه Fe3Al و FeAl3 توزیع شده در کل ساختار لایه روکش می‌باشد. آزمون ریزساختی سنجی انجام شده بر روی نمونه‌ها دلالت بر افزایش دوبرابری سختی سطحی فولاد روکش کاری شده داشت. نتایج حاصل از آزمون اکسیداسیون نمونه‌ها در دمای ۵۰۰°C به مدت ۱۰-۱۰۰ ساعت نشان داد روکش مذکور موجب بهبود قابل ملاحظه مقاومت به اکسیداسیون نمونه‌ها می‌گردد.

## واژه‌های کلیدی:

روکش آلومینیم، XRD، ترکیبات بین فلزی، اکسیداسیون

## ۱- مقدمه

رسوب داده می‌شود که عمدتاً آلیاژ پایه از جنس فولاد ساده کربنی یا فولاد کم آلیاژ است [۱-۳]. از بین روکش‌های جوشی مختلف، ترکیبات بین فلزی پایه آهن-آلومینیم به دلیل برخورداری از خصوصیاتی از قبیل مقاومت به خوردگی عالی،

روکش کاری جوشی (Weld cladding) فرآیندی است که با ایجاد یک لایه‌ی سطحی توسط تکنیک جوشکاری موجب بهبود قابل ملاحظه‌ای در خواص سطحی زیرلایه می‌شود. در این فرآیند لایه نسبتاً ضخیمی از مواد پرکن بر سطح آلیاژ پایه

## ۲- مواد و روش تحقیق

فولاد ساده کربنی AISI-1006 با ترکیب شیمیایی Fe-۰/۰۶C-۰/۰Mn-۰/۰۵Al-۰/۰۳Cu(wt%) زیرلایه و مفتول های پایه آلومینیمی Al-۴۰۴۳ با ترکیب شیمیایی Al-۵/۰Si-۰/۸۰Fe-۰/۰۳Cu(wt%) و قطر ۲ mm به عنوان فلز پر کن در این پژوهش استفاده شدند. نمونه هایی با ابعاد ۱۵۰×۱۰۰×۳mm از ورق دریافتی برش زده شد و بعد از چربی زدایی، عملیات روکش کاری توسط فرآیند جوشکاری قوس تنگستن (GTAW) انجام گردید. جزئیات فرآیند روکش کاری در جدول (۱) ارائه شده است. ارزیابی ابتدایی کیفیت پوشش ایجاد شده توسط تکنیک مایع نافذ و بررسی چشمی صورت پذیرفت. در ادامه نمونه ها در راستای عمود بر امتداد جوشکاری برش زده شد و بعد از آماده سازی سطحی (مانند گرم، سنباده و پولیش نمودن)، نمونه های آلیاژ پایه توسط محلول نایتال ۲٪ ((الکل) CH<sub>3</sub>OH+۹۸٪ HNO<sub>3</sub>) و نمونه های ۳٪ HCl+۱٪ Aqua Regia لایه روکش توسط محلول اچانت (Aqua Regia) مجهز به آنالیزگر EDS انجام گردید.

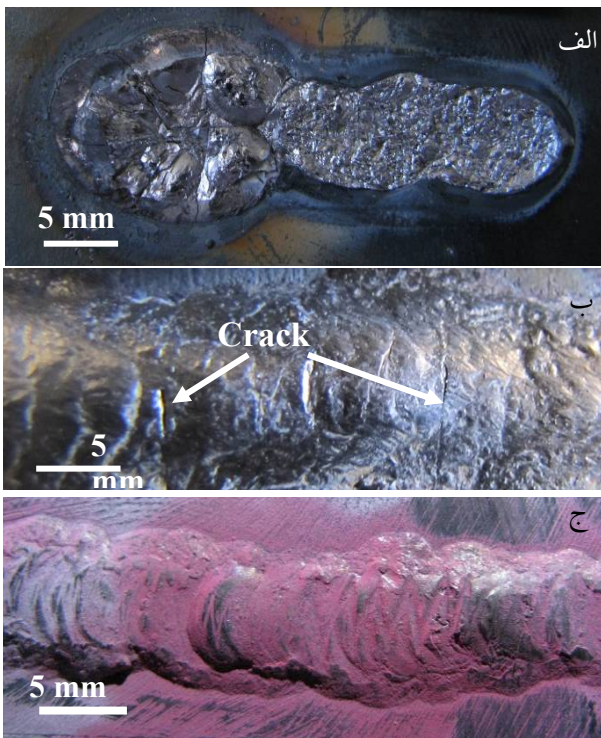
برای مطالعه فازی، از آزمون تفرق اشعه X (XRD) استفاده گردید. آنالیز فازی اشعه X (XRD) توسط دستگاه X-PERT و اشعه Cu-Kα با طول موج ۱/۰۵۴۶ Å در محدوده زاویه ای ۰-۱۲۰° با پیش روی زاویه ای ۰/۰۴° انجام شد.

خواص مکانیکی دما بالای مطلوب، قیمت مناسب و غیره، عنوان ترکیبات مناسب برای کاربرد در دماهای بالا و محیط های خورنده مطرح شده اند [۴]. عمدت ترین مشکل همراه با ترکیبات بین فلزی پایه آهن-آلومینیم مربوط به تردی و حساسیت به ترکیدگی آن هاست. یکی از راهکارهای کاهش تردی این ترکیبات بین فلزی، کاهش میزان آلومینیم در ترکیبات بین فلزی پایه آهن-آلومینیم به مقادیر کمتر از ۱۰wt% می باشد. در این وضعیت علی رغم افزایش قابلیت فرم پذیری و کاهش حساسیت به ترکیدگی، مقاومت به خوردگی این ترکیبات تا حدودی کاهش می باید [۵]. راهکار بعدی برای مقابله با تردی ترکیبات بین فلزی پایه آهن-آلومینیم، ایجاد روکش هایی از این گروه ترکیبات بین فلزی بر مواد داکتیل با مقاومت به خوردگی اندک از قبیل فولاد ساده کربنی و ساختمنی است [۶]. به طور کلی فرآیندهای ایجاد روکش غنی از آلومینیم بر زیرلایه فولادی به دو دسته مکانیکی و جوشکاری قابل تقسیم اند. در دسته اول مثل فرآیند نورد کاری، مکانیزم ایجاد اتصال در فصل مشترک روکش / زیرلایه تغییر فرم ماکروسکوپی زیاد و در نتیجه قفل شدن مکانیکی در موضع فصل مشترک می باشد [۷]. اما در گروه دوم ایجاد پیوند بین اتمی باعث ایجاد اتصال روکش پایه آلومینیمی به زیرلایه می شود. مزیت هایی از قبیل امکان ایجاد موضعی روکش و یا ایجاد روکش هایی با ضخامت زیاد و غیره موجب توجه روز افزون تکنیک جوشکاری برای روکش کاری بر زیرلایه های مختلف شده است. در این پژوهش راهکار ایجاد یک پوشش غنی از آلومینیم بدون عیب بر زیرلایه فولاد ساده کربنی و ارزیابی ریز ساختاری و مقاومت به اکسیداسیون پوشش مذکور بررسی گردیده است.

جدول (۱) شرایط روکش کاری آلومینیم بر فولاد 1006 AISI توسط فرآیند جوشکاری GTAW

| شرایط جوشکاری |            |                   |           |        |         | مشخصات الکترود |                   |  |
|---------------|------------|-------------------|-----------|--------|---------|----------------|-------------------|--|
| قطر فلز پرکن  | دما پیشگرم | دبی دمش گاز محافظ | سرعت      | ولتاژ  | حریان   | قطر            | زاویه نوک الکترود |  |
| 2mm           | 200-500°C  | 6Lit/min          | 0.5-1mm/s | 11-14V | 60-150A | 2.4mm          | 30°±5°            |  |

مشابه بررسی‌های Banovic و همکارانش [۹] نشان داد حد بهینه برای ایجاد لایه آلومینیمی بر سطح فولاد، ۱۰wt% است.



شکل (۱): بررسی کیفی لایه روکش در شرایط مختلف جوشکاری، (الف) بدون پیش گرم، (ب) جریان کمتر از ۱۰۰ A و (ج) جریان ۱۰۰ A و دمای  $500 \pm 50^\circ\text{C}$ .

در شکل (۱) تاثیر شرایط جوشکاری بر کیفیت سطحی لایه روکش نشان داده شده است. همان‌گونه که دیده می‌شود عدم رعایت تمہیدات لازم از قبیل شرایط پیش و پس گرمایش جوش و استفاده از پارامترهای نادرست جوشکاری موجب ایجاد ترک و جدا شدن روکش از زمینه می‌شود. به طور مشابه گزارش‌هایی در خصوص مشارکت تردی هیدروژنی [۱۰] و ایجاد ترک‌های انجمادی [۱۱] در روکش‌های غنی از آلومینیم ارائه شده است.

### ۲-۳- مطالعه فازی اجزاء روکش ایجاد شده

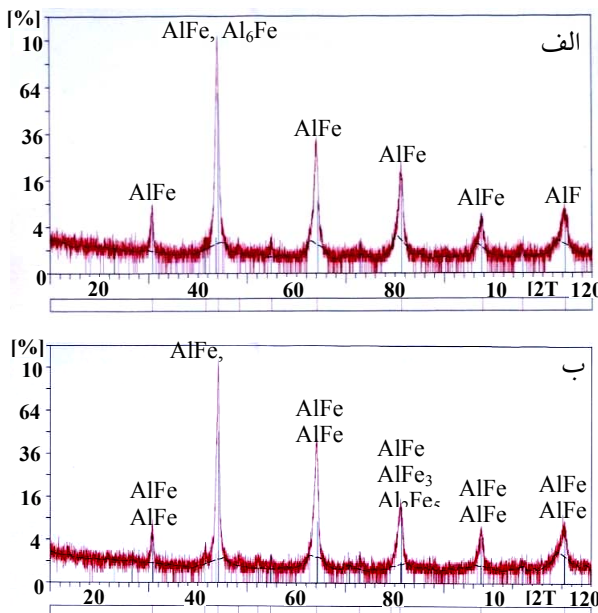
مقطع عرضی نمونه روکش کاری شده در شکل (۲) نشان داده شده است. با توجه به مشارکت آلیاژ‌پایه در لایه روکش (سطح A در شکل (۲)) درجه رقت فرآیند محاسبه شد که در حدود  $68 \pm 6\%$  می‌باشد.

از دو آزمون ریزسختی و اکسیداسیون برای ارزیابی کارائی پوشش ایجاد شده استفاده گردید. آزمون اکسیداسیون توسط کوره مقاومتی اکسایتون و در دمای  $500^\circ\text{C}$  در محدوده زمانی ۱۰-۱۰۰ ساعت انجام شد. آزمون ریزسختی توسط دستگاه Micro-Vickers Hardness tester THV-501E و با اعمال نیروی ۲۰۰ گرم انجام شد.

### ۳- نتایج و بحث

**۳-۱- بررسی کیفیت سطحی روکش ایجاد شده**  
بررسی‌های کیفی نمونه‌های روکش کاری شده نشان داد که: (I) ایجاد روکش آلومینیمی بر فولاد AISI-1006 بدون عملیات پیش گرم ممکن نمی‌باشد. به عبارت دیگر بدون عملیات پیش گرم هیچ‌گونه اتصال قابل قبولی بین لایه سطحی غنی از Al و زیرلایه ایجاد نمی‌شود و لایه روکش به راحتی از سطح جدا می‌شود (شکل ۱-الف) که بدلیل اختلاف قابل ملاحظه در خصوصیات فیزیکی (ضریب انتقال حرارت، ضریب انساط و انقباض حرارتی وغیره) روکش غنی از Al و آلیاژ پایه است، (II) جوشکاری در جریان‌های کمتر از ۸۰ A بدلیل عدم فراهم شدن انرژی حرارتی کافی برای ذوب زیرلایه و عدم ممزوج شدن روکش با آن موجب جدا شدن راحت روکش از سطح آلیاژ پایه می‌شود (شکل ۱-ب). مقدار انرژی حرارتی ورودی جوشکاری ( $Q_w$ ) در این حالت بر اساس رابطه  $[8] Q_w = kIU/v$  کمتر از  $530 \text{ J/mm}^2$  محاسبه شد. در این رابطه I، U و v به ترتیب جریان، ولتاژ و سرعت جوشکاری می‌باشد. (III) با افزایش جریان جوشکاری و درجه حرارت پیش گرم به ترتیب تا  $100 A$  و  $500 \pm 50^\circ\text{C}$  امکان ایجاد لایه سطحی غنی از Al بر آلیاژ پایه محقق می‌شود (شکل ۱-ج). افزایش جریان و درجه حرارت پیش گرم موجب افزایش میزان مشارکت آلیاژ پایه در لایه روکش داده شده می‌گردد (افزایش درجه رقت). در این شرایط با کاهش مقدار Al در لایه روکش، خصوصیات فیزیکی این لایه به مقادیر مربوط به آلیاژ پایه نزدیک شده و امکان روکش کاری فولاد توسط لایه غنی از Al فراهم می‌شود. به طور

نتایج آنالیز XRD انجام شده نیز تشکیل ترکیبات بین فلزی غنی از Fe و Al در لایه روکش را تایید نمود (شکل ۴).

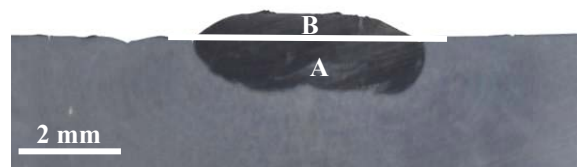


شکل (۴): الگوی تفرق اشعه X از نواحی مختلف روکش، (الف) نواحی فوقانی روکش به فاصله تقریبی  $1000 \pm 100 \mu\text{m}$  از فصل مشترک، (ب) نواحی پایینی روکش به فاصله تقریبی  $1700 \pm 100 \mu\text{m}$  از فصل مشترک

**۳-۲-بررسی ریزساختاری لایه نمونه روکش کاری شده**  
همان طور که در شکل (۵) نشان داده شده است ریزساختار آلیاژ پایه فریتی به همراه مقادیری اندک فاز پرپلیت در مرز و نقاط حاصل از برخورد دانه‌های فریت می‌باشد، اما ریزساختار ناحیه متاثر از حرارت شامل فریت ویدمن اشتاتن در ناحیه HAZ را می‌توان می‌باشد. تشکیل فریت ویدمن اشتاتن در ناحیه HAZ را می‌توان به آستینیته شدن فریت حین عملیات روکش کاری و سرعت نسبتاً بالای سرد شدن مرتبط نمود. بنابراین عدم امکان نفوذ اتمی موجب تشکیل فریت ویدمن اشتاتن می‌شود [۱۵].

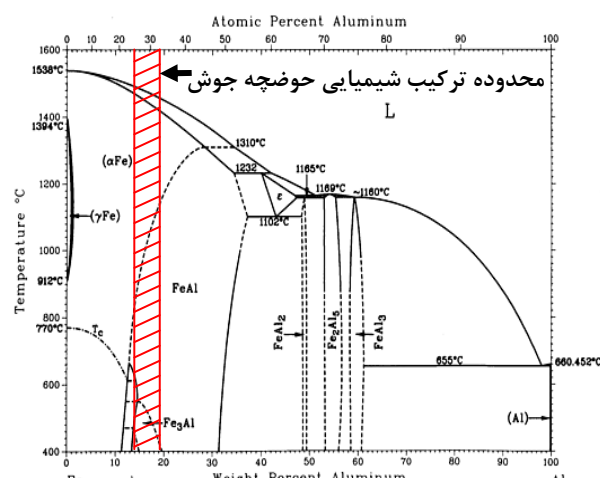
بررسی ریزساختار لایه روکش داده شده حاکی از تشکیل ساختار شبیه یوتکنیکی در برخی از نواحی نزدیک به فصل مشترک آلیاژ پایه/لایه روکش بود (شکل ۶).

تشکیل ساختار مذکور احتمالاً در نتیجه استحاله یوتکنیکی شبیه دوتایی  $\text{FeSi}_2 \rightarrow \text{L} \rightarrow \text{FeSi} + \alpha\text{FeSi}_2$  می‌باشد. مطالعات SEM و



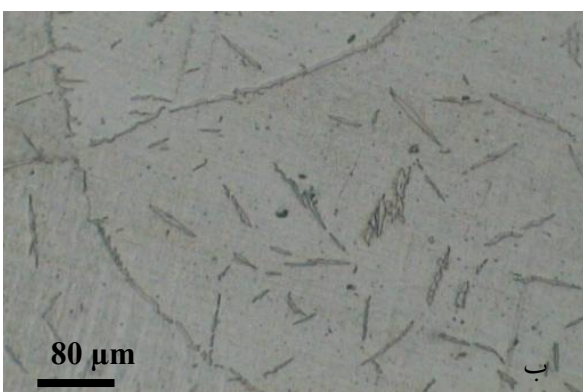
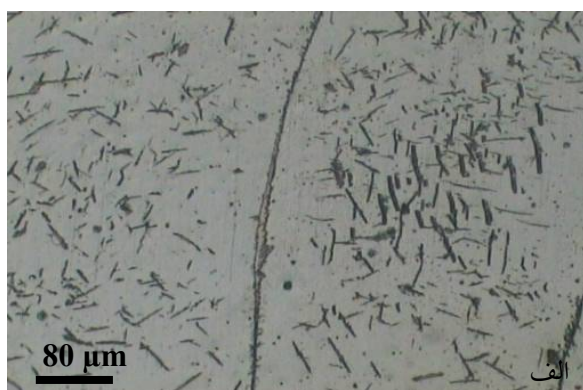
شکل (۲): مقطع عرضی از موضع روکش کاری شده A و B به ترتیب مشارکت زیر لایه و فلزپرکن در لایه روکش

ترکیب شیمیایی لایه روکش داده شده توسط درجه رقت و ترکیب شیمیایی آلیاژ پایه و فلز پرکن محاسبه شد که در محدوده نشان داده شده از دیاگرام فازی Fe-Al (شکل ۳) است. بر اساس این شکل می‌توان تشکیل فازها حین سرد شدن لایه روکش داده شده را بدین صورت بیان نمود، در ابتدا فاز  $\text{Fe}(\alpha)$  در محدوده دمایی  $1480 - 1546^\circ\text{C}$  شروع به متبلور شدن از فاز مذاب می‌نماید. در ادامه سرد شدن در دمای‌های حدود  $1100^\circ\text{C}$  فاز  $\text{FeAl}$  شروع به جوانهزنی و رشد از فاز  $\text{Fe}(\alpha)$  می‌کند. بر اساس بررسی‌های Kratochvil و همکارانش [۱۳] استحاله یا استحاله‌های تشکیل فاز  $\text{FeAl}$  طی سرد شدن آلیاژ در محدوده دمایی  $700^\circ\text{C}$  بسیار پیچیده می‌باشد. با کاهش دما تا حدود دمای  $600^\circ\text{C}$  دستخوش یک استحاله منظم شدن می‌شود که شامل تشکیل زمینه نامنظم  $\text{FeAl}$  و رسوبات منظم از فاز نامنظم  $\text{FeAl}$  می‌باشد [۱۴].



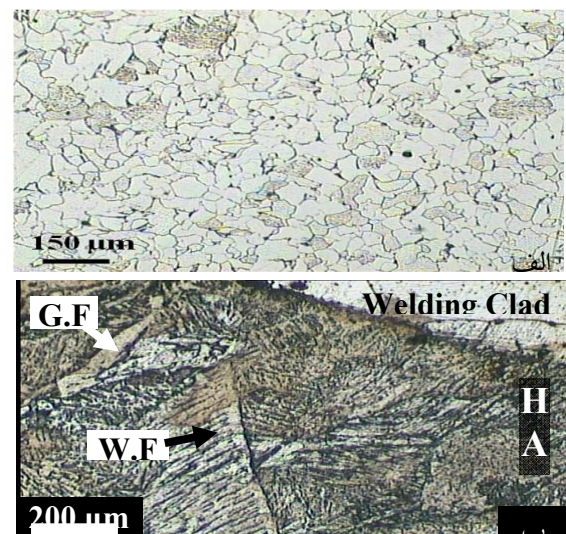
شکل (۳): دیاگرام فازی Fe-Al به همراه محدوده ترکیب شیمیایی محاسبه شده برای لایه روکش ایجاد شده [۱۲]

با حرکت به سمت سطوح بالایی لایه روکش (فاصله حدود  $100\text{ }\mu\text{m}$  از فصل مشترک زیرلایه/روکش)، رسوبات بین فلزی Fe-Al تشکیل شده در لایه روکش نسبت به رسوبات بین فلزی شکل شده در سطوح پایینی لایه روکش (فاصل  $600\text{--}950\text{ }\mu\text{m}$  از فصل مشترک زیرلایه/روکش) درشت تر و کم دانسیته تر می شود (شکل ۷). این تغییرات در ویژگی رسوبات بین فلزی بدليل کاهش غلظت آهن در نواحی XRD بالایی سطوح لایه روکش است. به طور مشابه، بررسی های تشکیل رسوبات غنی از آلومینیم مثل  $\text{Fe}_2\text{Al}_5$  و  $\text{FeAl}_3$  را در نواحی بالایی لایه روکش (شکل ۴-الف) و تشکیل رسوبات غنی از آهن مثل  $\text{Fe}_3\text{Al}$  را در نواحی پایینی لایه روکش تائید نمود (شکل ۴-ب).

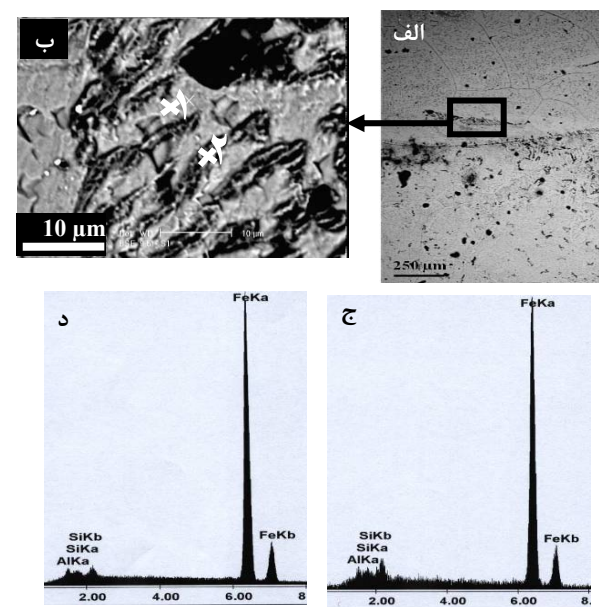


شکل (۷): تصویر نوری از توزیع رسوبات در لایه روکشی، (الف) نواحی نزدیک به فصل مشترک زیرلایه/روکش (فاصله حدود  $1100\text{ }\mu\text{m}$  از فصل مشترک زیرلایه/روکش) و (ب) نواحی نزدیک به سطح لایه روکش (فاصل  $600\text{--}950\text{ }\mu\text{m}$  از فصل مشترک زیرلایه/روکش).

انجام شده (شکل ۶-ج، د) نیز تشکیل اجزاء غنی از سیلیکون و آهن را در این ساختار شبه یوتکنیکی تائید نمود.

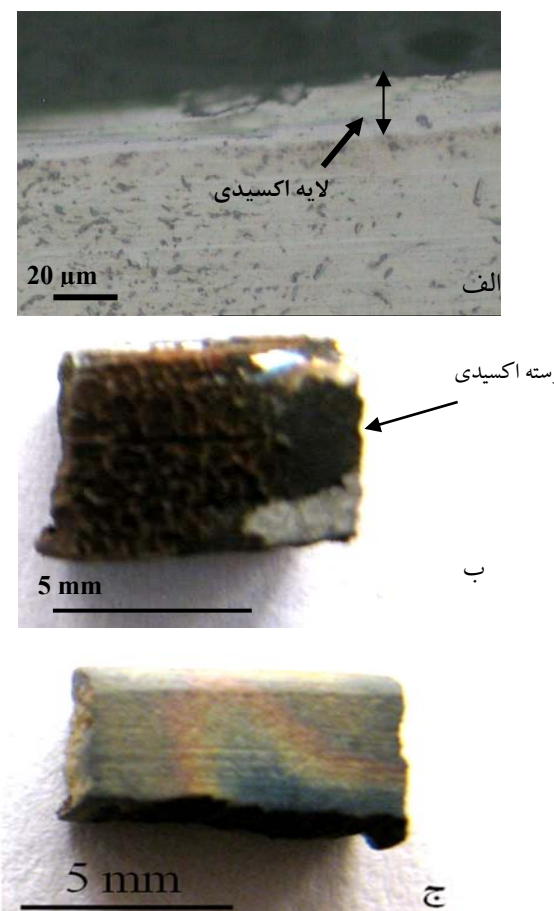


شکل (۵): (الف): ریزساختار آلیاژ پایه، (ب) ریزساختار ناحیه متأثر از حرارت. G.F و W.F به ترتیب دلالت بر فریت مرزدانه ای و فریت ویدمن اشتاتن دارد.



شکل (۶): (الف) تصویر SEM از فصل مشترک زیرلایه/روکش، (ب) تصویر SEM از اجزاء یوتکنیکی Fe-Si، (ج) آنالیز EDS نقطه ۱ نشان داده شده در قسمت ب و (د) آنالیز EDS نقطه ۲ نشان داده شده در قسمت ب.

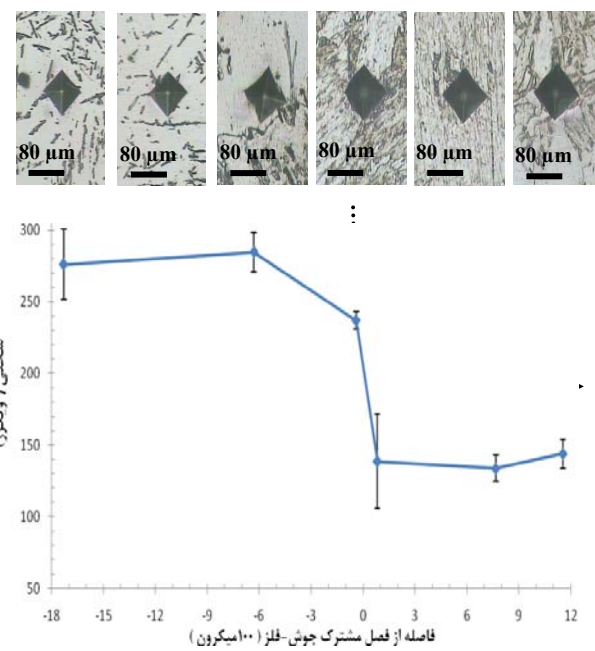
نمی‌شود. مقاومت عالی در برابر اکسیداسیون نمونه روکش داده شده را می‌توان به تشكیل یک فیلم اکسیدی پیوسته و چسبنده بر روی سطح نمونه (شکل ۹-الف) نسبت داد که روکش مذکور باعث جلوگیری از اکسیداسیون بیشتر می‌شود. درحالیکه در شرایط مشابه، آلیاژ پایه به شدت دستخوش اکسیداسیون می‌شود و یک فیلم اکسیدی غیرچسبنده بر سطح آلیاژ پایه تشكیل می‌شود که با کوچکترین ضربه به راحتی جدا می‌شود (شکل ۹-ب، ج). بعد از جدا کردن فیلم اکسیدی، آلیاژ پایه کاهش وزنی حدود ۱٪ را نشان داد.



شکل (۹): بررسی کیفی نمونه‌ها بعد از آزمون اکسیداسیون، (الف) تشكیل لایه اکسیدی چسبنده بر سطح لایه روکش، (ب) اکسید شدن شدید فلز پایه و (ج) کنده شدن لایه اکسیدی از سطح فلزپایه.

#### ۴-۴- ارزیابی خصوصیات روکش جوشی غنی از Al

(الف) ارزیابی ریز سختی پروفیل سختی نواحی مختلف نمونه روکش کاری شده در شکل (۸) نشان داده شده است. همان‌گونه که از این شکل استنباط می‌شود با ورود به لایه روکش آلومینیمی و تشكیل ترکیبات FeAl<sub>3</sub> و توزیع نسبتاً یکنواخت رسوبات بین فلزی FeAl و فلزی FeAl<sub>3</sub> در لایه روکش، سختی افزایش می‌یابد به طوریکه سختی لایه سطحی ( $10 \text{ HV} \pm 290$ ) در حدود دو برابر سختی فلز پایه ( $150 \pm 5 \text{ HV}$ ) است. مقدار کاهش سختی در حدود  $10 \text{ HV}$  در قسمت بالایی لایه روکش مربوط به کاهش دانسیته رسوبات در نواحی نزدیک به سطح لایه روکش می‌باشد.



شکل (۸): پروفیل سختی در امتداد مقطع روکش کاری شده.

#### ب) ارزیابی مقاومت به اکسیداسیون نمونه‌ها

بررسی تاثیر کارائی روکش سطحی ایجاد شده بر مقاومت به اکسیداسیون نمونه‌ها نشان داد، ایجاد روکش غنی از Al بر فولاد ساده کربنی به میزان قابل ملاحظه‌ای موجب افزایش مقاومت به اکسیداسیون زیرلایه می‌شود، به طوریکه بعد از حدود ۱۰۰ hr واقع شدن در دمای  $50^{\circ}\text{C}$  هیچ‌گونه تغییری در وزن نمونه ایجاد

- [3] J.R.Davis, "Hardfacing, Weld Cladding and Dissimilar Metal Joining", ASM Handbook-Welding, Brazing and Soldering, Vol. 6, 10th Ed., ASM Metals Park, OH, 1993.
- [4] S.A.David, J.A.Horton, C.G. McKamey, T. Zacharia and R.W. Reed, "Welding of Iron-Aluminides", Welding J., Vol. 68, pp. 372-381, 1989.
- [5] S.W.Banovic, J.N.Dupont and A.R.Marder, "Experimental Evaluation of Fe-Al Claddings in High Temperature Sulfidizing", Welding J., Vol. 80, pp.63-70, 2001.
- [6] S.Vyas, S.Viswanathan, V.K.Sikka, "Effect of Aluminum Content on Environmental Embrittlement in Binary Iron-Aluminum Alloys", Scripta Met. Mater., Vol. 27, pp. 185-190, 1992.
- [7] N.Bay, "Cold welding part II, process variation and application", Met Constr, p.486, 1986.
- [8] R.S.Parmar, "Welding Engineering and Technology", 1st Ed., Khanna Pub., India, 2004.
- [9] S.W.Banovic, J.N.Dupont and P.F.Tortorelli, "The Role of Al on Weldability and Sulfidation Behavior of Fe-Al Cladding", Welding J., Vol. 78, pp.23-30, 2001.
- [10] P.J.Maziasz, G.M.Goodwin, C.T.Liu and S.A.David, "Effects of Minor Alloying Elements on the Welding Behavior of FeAl Alloys for Structural and Weld-Overlay Cladding Applications", Scripta Met. Mater., Vol. 27, pp. 1835-1840, 1992.
- [11] A.D.Jordan, O.N.C.Uwakweh, and R.W.Reed, "Weld Thermal Simulation and Its Effect upon Microstructure of FeAl base Material", Mat. Characterization, Vol. 43, pp. 227-233, 1999.
- [12] Metals handbook, "Phase Equilibrium Diagram", Vol. 3, ASM Publication, 1992.
- [13] P.Kratochvil, P.Hanus and Z.Novotna, "Hardening by Thermal Vacancies in the B2 Region of the Fe-Al Phase Diagram", Phys. Stat. Sol, Vol. 222, p.35, 2000.
- [14] D.A.Porter and K.E.Esterling, "Phase Transformation in Metals and Alloys", 2nd Ed., Chapman & Hall, London, 1992.
- [15] W.Zhang, J.W.Elmer and T.DebRoy, "Integrated Modelling of Thermal Cycles, Austenite Formation, Grain Growth and Decomposition in the Heat Affected Zone of Carbon Steel", Science and Technology of Welding and Joining, Vol. 10, n5, pp. 574-582, 2005.

#### ۴- نتیجه‌گیری

- ۱- حساسیت به ترکیدگی روکش غنی از Al ایجاد شده بر سطح فولاد ساده کربنی توسط فرآیند GTAW را می‌توان با به کارگیری شدت جریان A ۱۰۰ و دمای پیش‌گرم حدود  $500 \pm 50^\circ\text{C}$  کاهش داد.
- ۲- ریزساختار روکش غنی از Al بر سطح فولاد ساده کربنی شامل زمینه  $\text{FeAl}$  و رسوبات بین فلزی  $\text{Fe}_3\text{Al}$ ,  $\text{FeAl}_3$  و غیره می‌باشد. علاوه بر این مناطق یوتکنیکی شبه دوتایی  $\text{Fe}-\text{Si}$  در لایه روکش نزدیک به فصل مشترک زیرلایه/روکش در فاصله حدود  $410 \pm 50 \mu\text{m}$  از فصل مشترک تشکیل شد.
- ۳- با افزایش فاصله از فصل مشترک زیرلایه/روکش در فواصل حدود  $1100 \mu\text{m}$  از فصل مشترک، ترکیبات بین فلزی غنی از Al از قبیل  $\text{Fe}_2\text{Al}_5$  و  $\text{Fe}_3\text{Al}$  در لایه روکش تشکیل گردید. در نواحی نزدیک به فصل مشترک و در فواصل  $600-950 \mu\text{m}$  از فصل مشترک، رسوبات بین فلزی غنی از آهن مثل  $\text{Fe}_3\text{Al}$  در لایه روکش تشکیل شد.
- ۴- تشکیل ترکیبات بین فلزی و توزیع نسبتاً یکنواخت رسوبات بین فلزی Al در زمینه، موجب بهبود سختی سطحی نمونه روکش داده شده تا حدود دو برابر سختی آلیاژ پایه می‌شود.
- ۵- روکش کاری فولاد ساده کربنی با آلومینیم به دلیل تشکیل یک لایه اکسیدی چسبنده و پیوسته‌ی سطحی، باعث بهبود مقاومت به اکسیداسیون آلیاژ پایه به میزان قابل ملاحظه‌ای در دمای  $500^\circ\text{C}$  گردید.

#### ۵- مراجع

- [1] D.W.Gandy, S.J.Findlan and R.Viswanathan, "Weld Repair of Steam Casings and Piping An Industry Survey", ASME J. Press. Vess. Technol, Vol.123, pp. 157-160., 2001.
- [2] A.Bishop, "Weld Repairs to High-Pressure Feed/Effluent Heat Exchangers", Int. J. Press. Vess. Pip, Vol. 77, pp. 139-145, 2000.